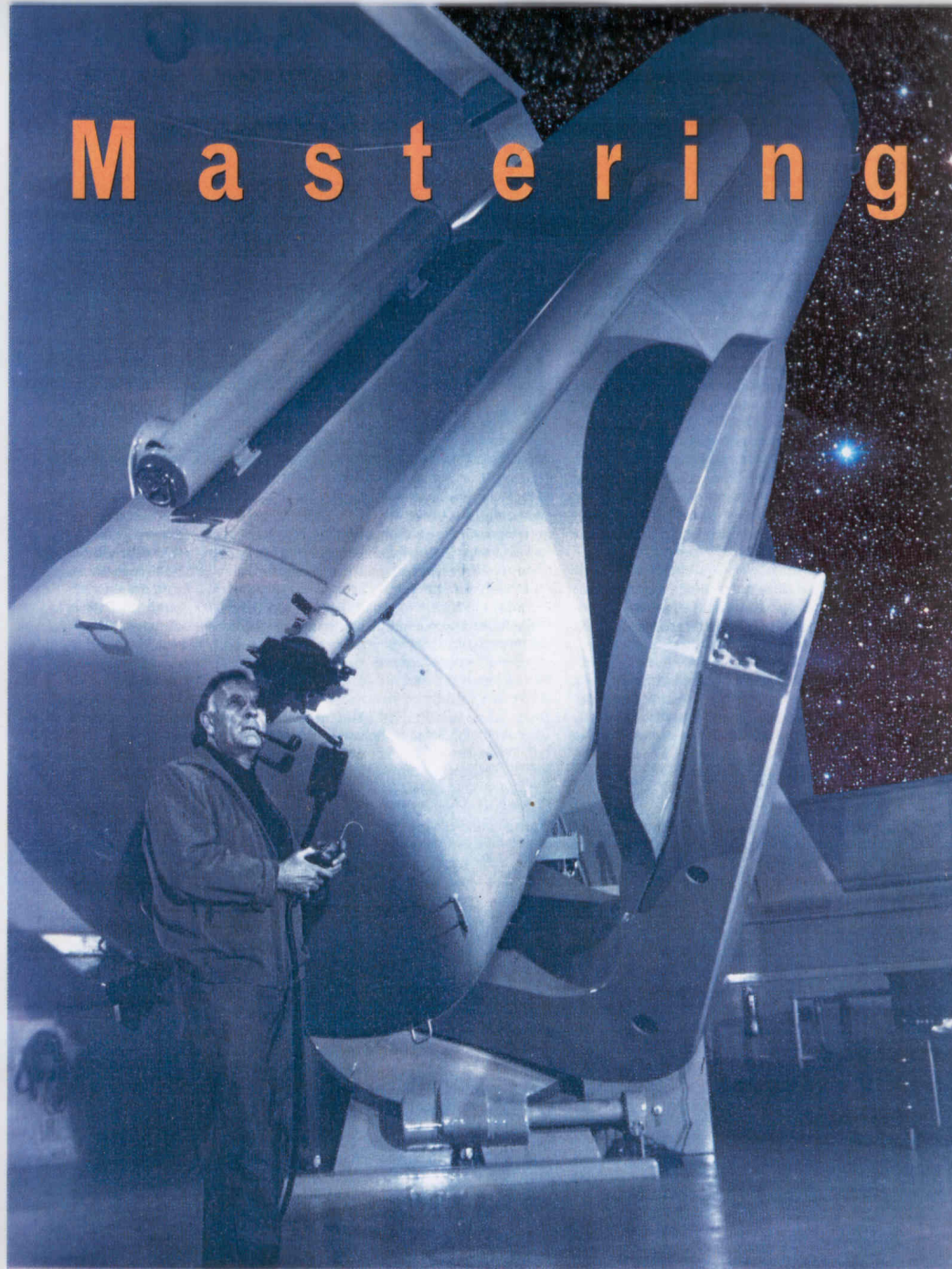


# VANGALAKTIČKA ASTRONOMIJA

# Velika debata 1920 godine

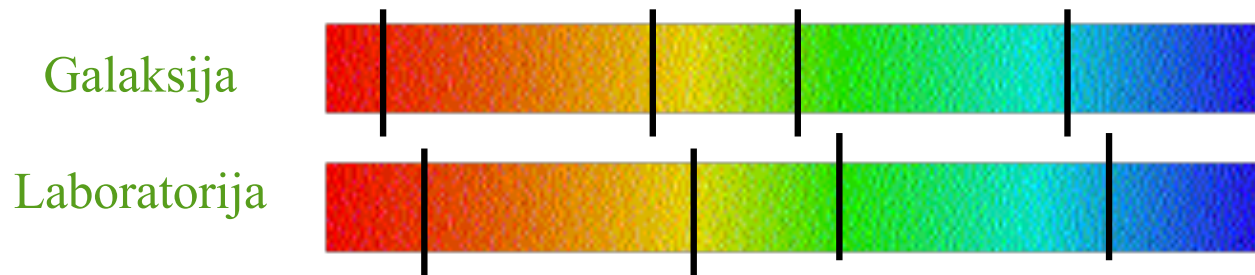
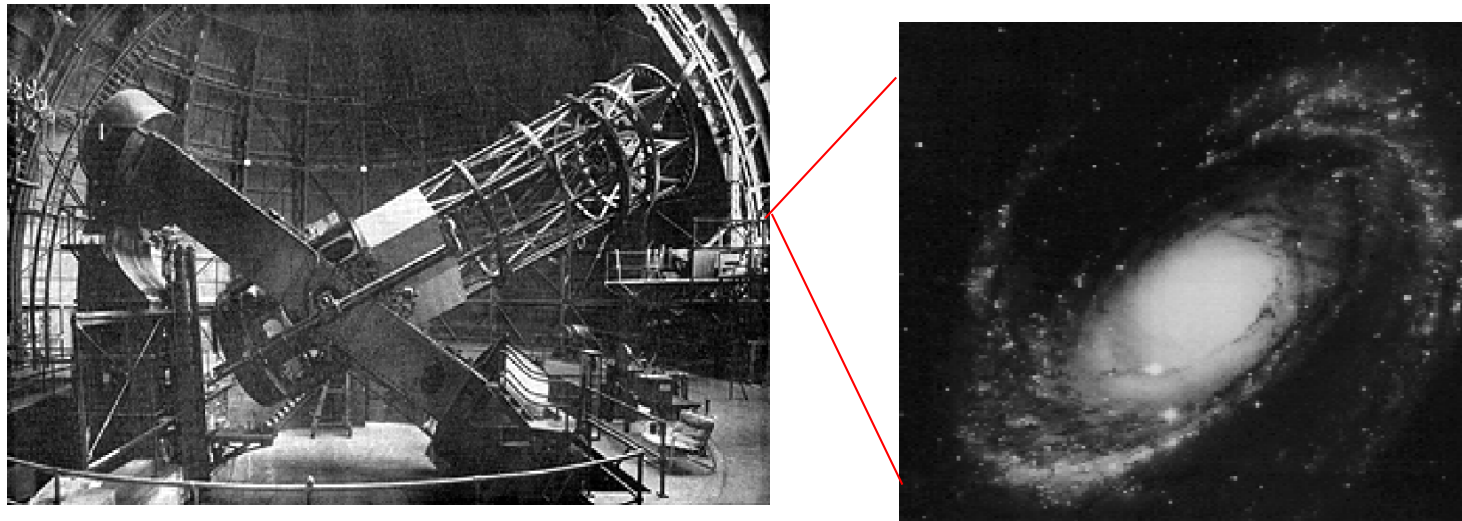
- **1920:** [Kurtis-Šepli javna debata](#) "Da li su spiralne magline ostrvski univerzumi" (Kurtis je bio za, Šepli protiv). Šepli je "pobedio" u debati, iako je Kurtis bio u pravu.
  - Šepli - glavni argument: da je maglina Andromeda stvarno velika kao Mlečni put ( $\sim 100$  kpc), onda njene ugaone dimenzije ( $3^\circ \times 1^\circ$ ) sugerisu toliko veliko rastojanje (2 Mpc) da je posmatrana "nova" u Andromedi mnogo mnogo većeg sjaja nego bilo šta posmatrano u Mlečnom putu.
  - Kurtis: nove su pokazale da su spiralne magline udaljene barem 150kpc kako bi imale istu luminoznost kao i galaktičke nove, a njihove doplerovske brzine ( $>500\text{-}1000$  km/s) sugerisu da ne mogu ostati gravitaciono vezane za našu Galaksiju. A da su im transferzalne brzine isto toliko velike i da su deo naše Galaksije, mogli bismo da im izmerimo sopstveno kretanje (što nismo mogli a i dalje ne možemo).



Edwin  
Hubble  
1924  
Mt Wilson  
2.5m  
Cefeide u M31

procenjeno rastojanje  
600kpc (pogrešno)

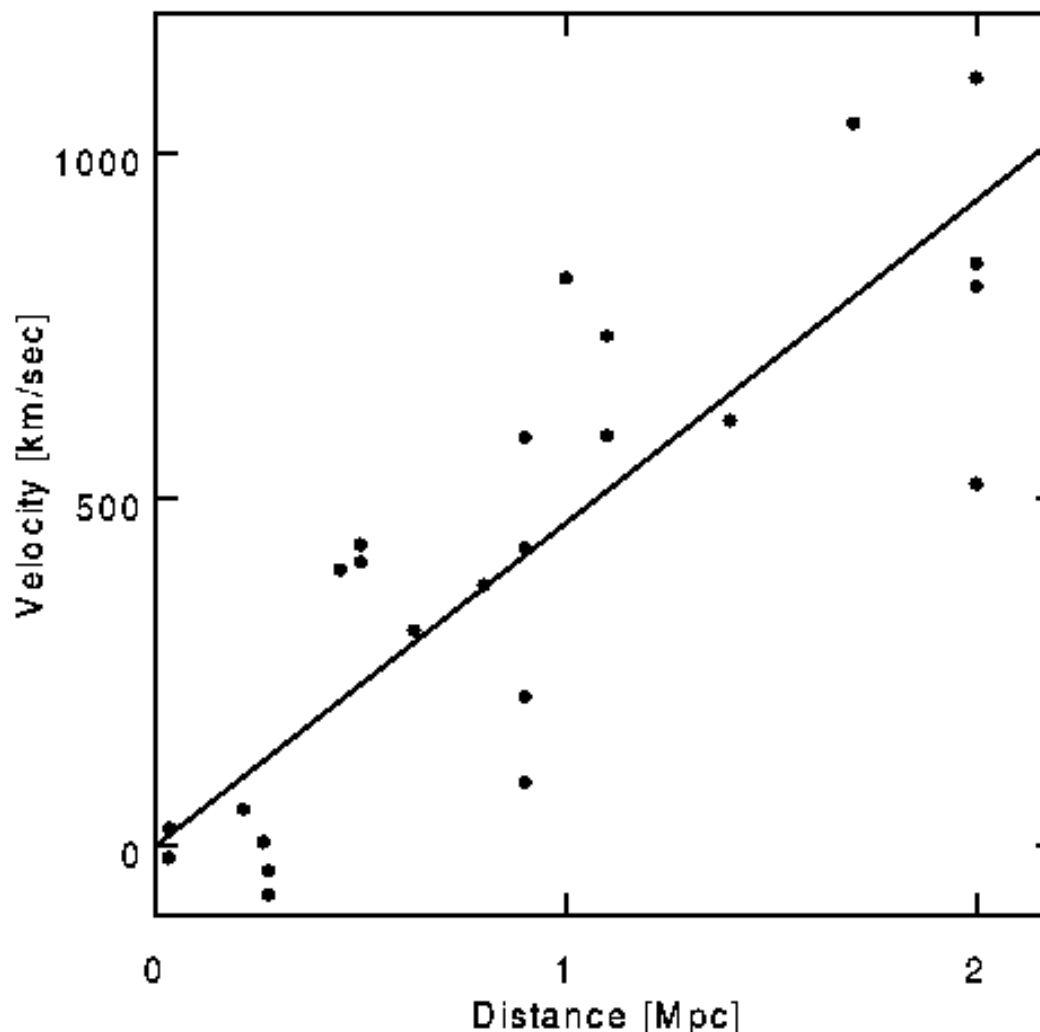
Tokom 1920-tih Habl je merio spektre dalekih galaksija.



Otkrio je da većina galaksija pokazuje crveni pomak – **redshift**,  
korišćenjem **Doplerove formule** → galaksije se udaljavaju od nas.

# Hablov zakon (1929)

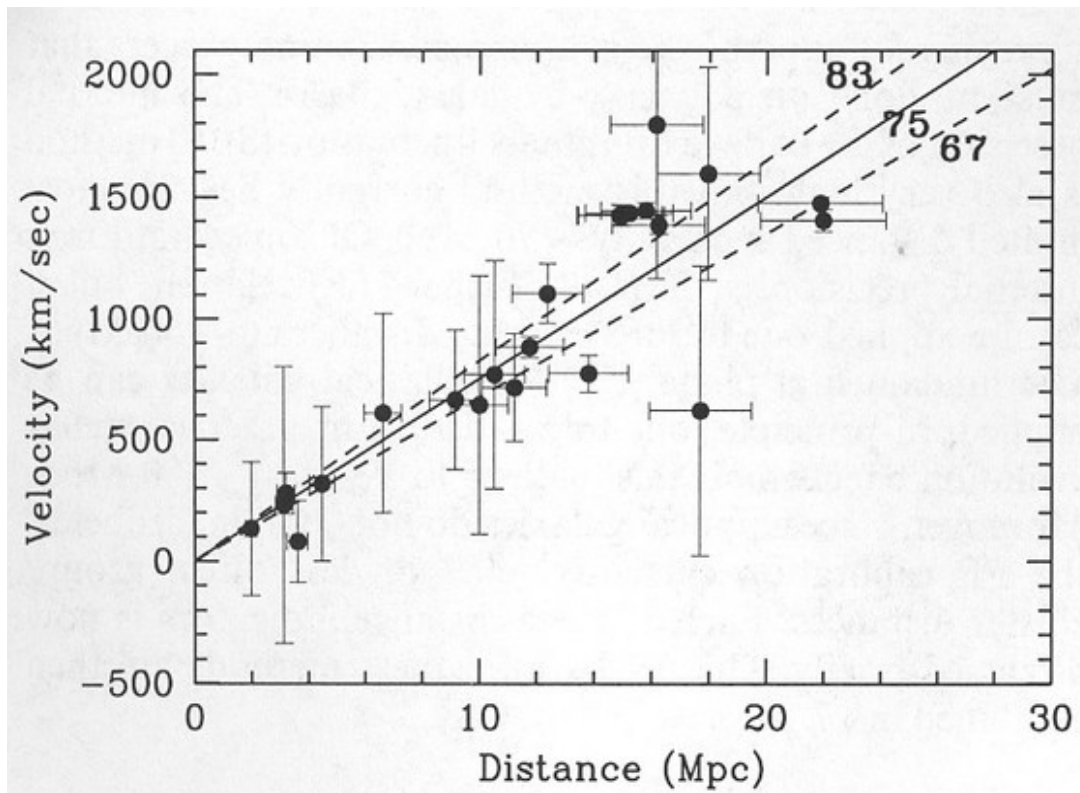
$$v_{\text{rad}} = H_0 \cdot D$$



Veza između rastojanja i brzine je poznata kao Hablov zakon:

$V = H_0 * d$ , gde je  $V$  - radijalna brzina,  $d$  - rastojanje, a  $H_0$  - Hablova konstanta (jedinica za vreme) govori kako se brzo svemir širi, predstavlja sadašnju brzinu širenja vaseone.

$H_0^{-1} = \text{Habovo vreme}$   vremenska skala *starosti* svemira



Deo Hablovih originalnih podataka

$V$  [km/s]

$d$  [Mpc]

$1 \text{ Mpc} = 10^6 \text{ pc}$

$1 \text{ pc} = 3,26 \text{ sg}$

$1 \text{ sg} = 9,46 * 10^{12} \text{ km}$

$1 \text{ pc} = 3,08 * 10^{13} \text{ km}$

$1 \text{ pc} = 206265 \text{ AJ}$

$1 \text{ AJ} = 1,49 * 10^8 \text{ km}$

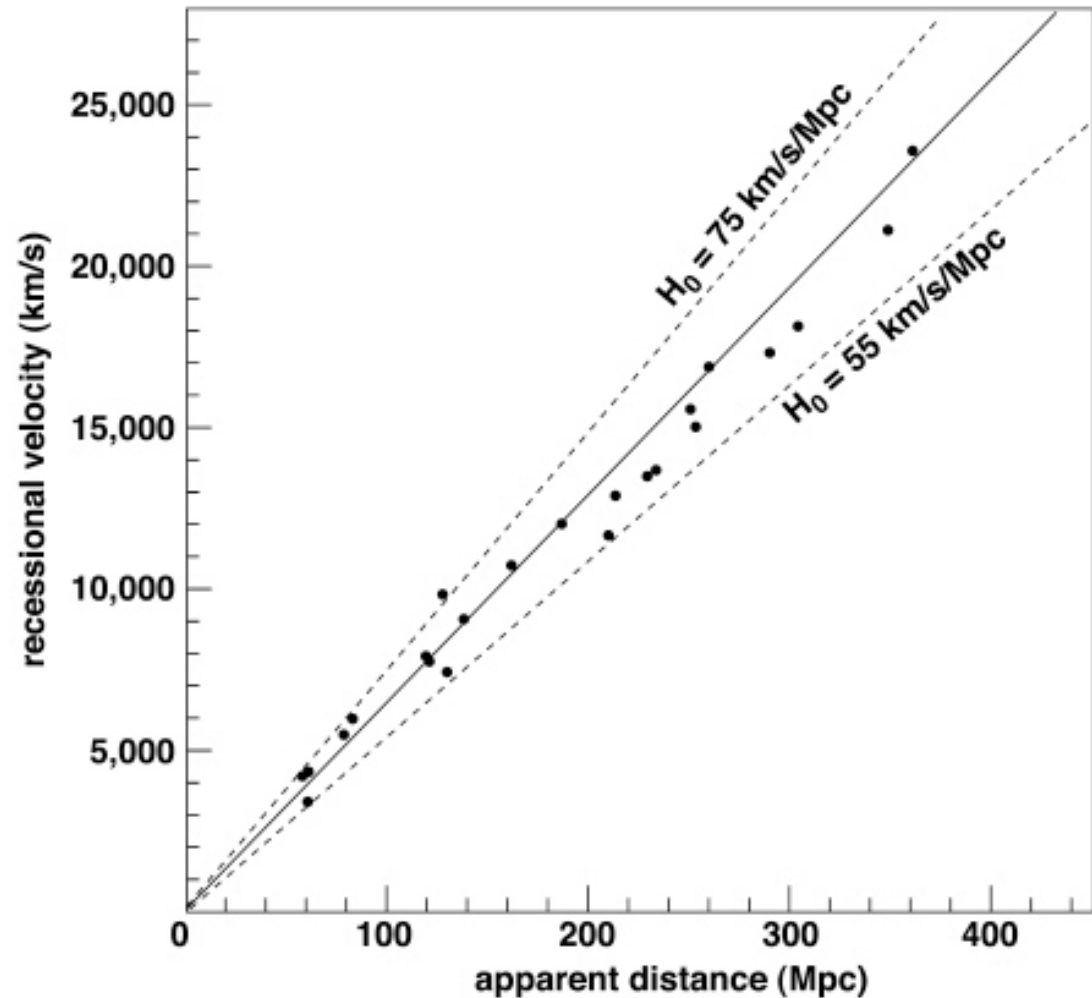
$H_0 = 50-100 \text{ [km/sMpc]}$

$H_0 = 75 \text{ [km/ s Mpc].}$

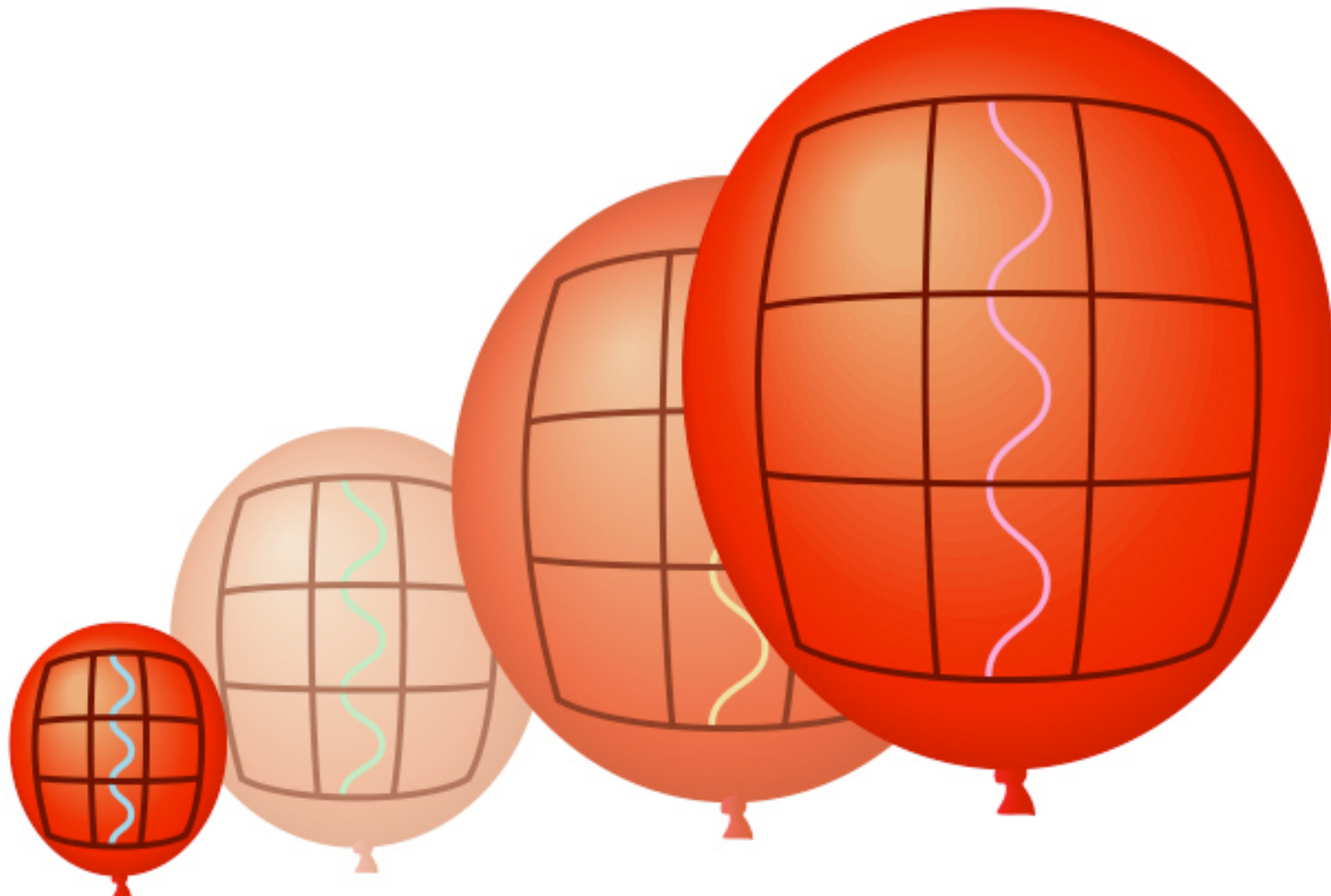
# Hablova konstanta

u početku  
 $H_0$  [50-100]  
km/s/Mpc

poslednje  
merenje:  
 $67.80 \pm 0.77$   
(km/s)/Mpc

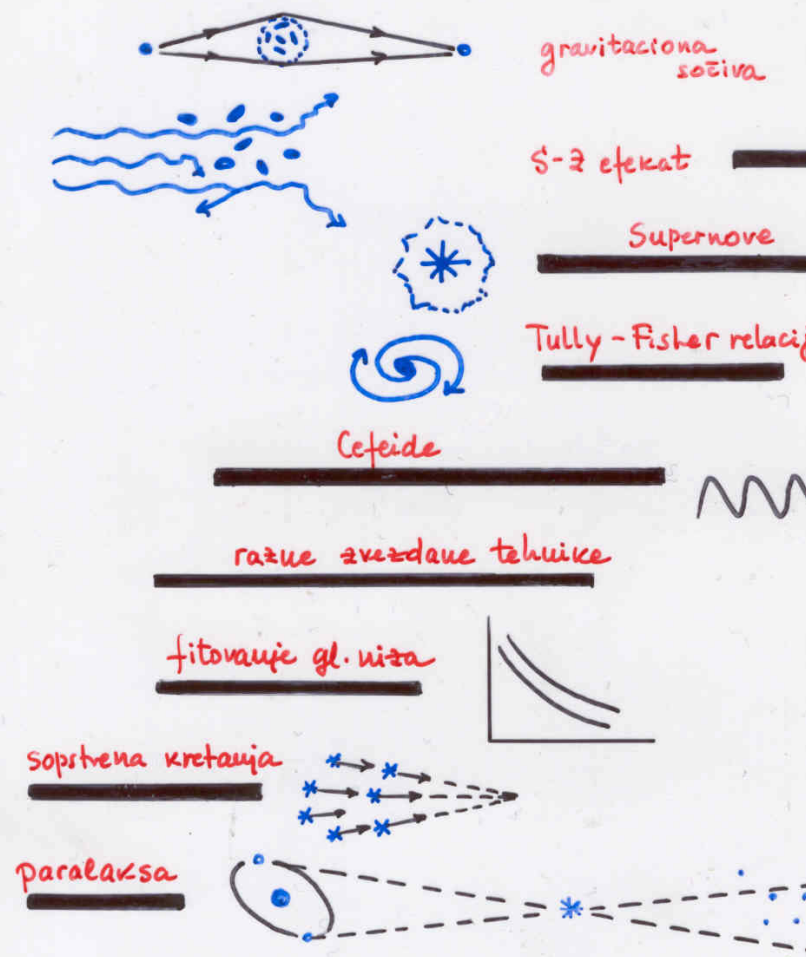


# Kosmološki crveni pomak



Copyright © Addison Wesley

## LESTVICA RASTOJANJA



10    100    1000     $10^4$      $10^5$      $10^6$      $10^7$      $10^8$      $10^9$  [svetlosnih godina]

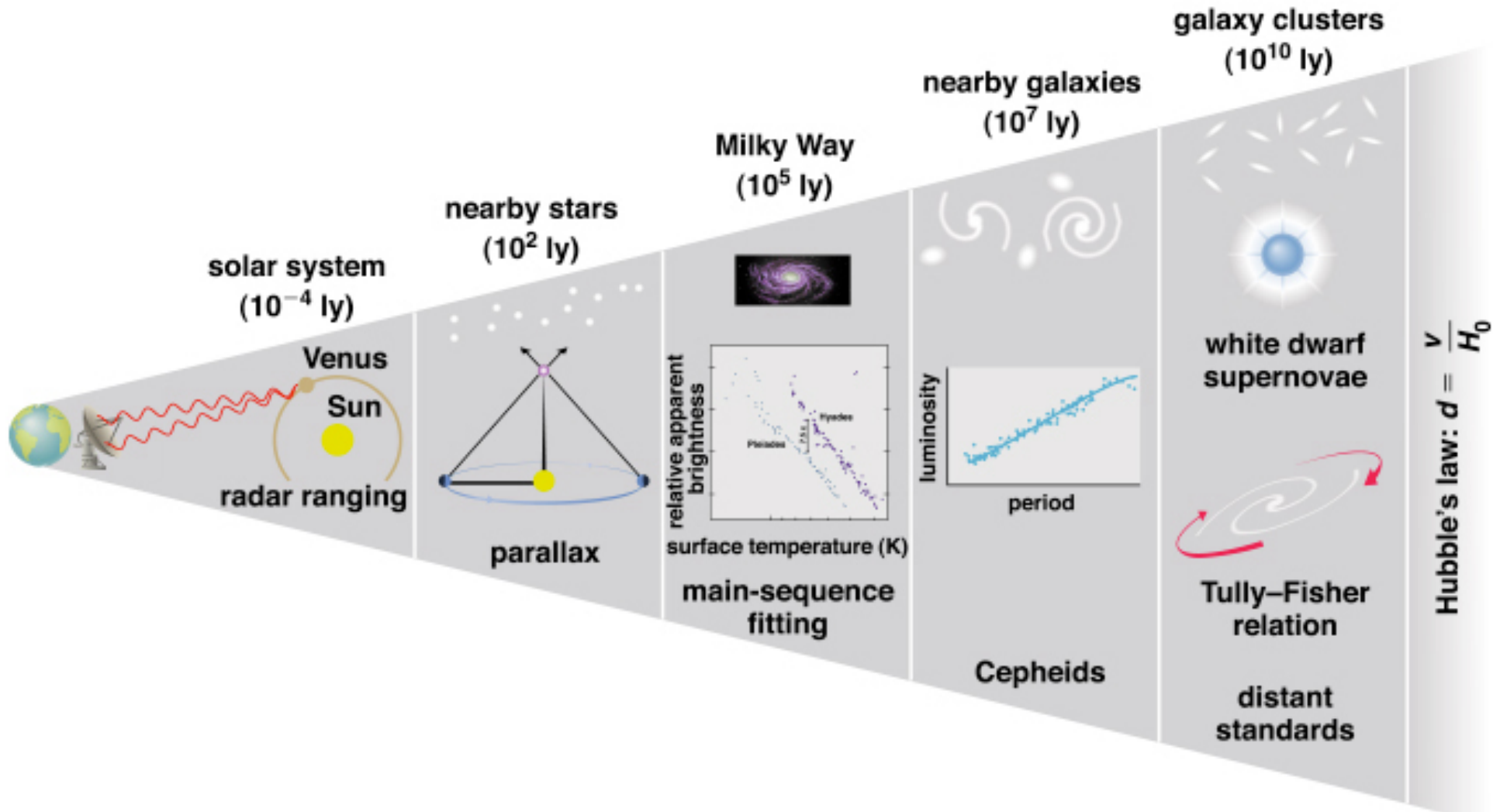
$\alpha$  Centauri

Hijade

Megalačari  
očlaci

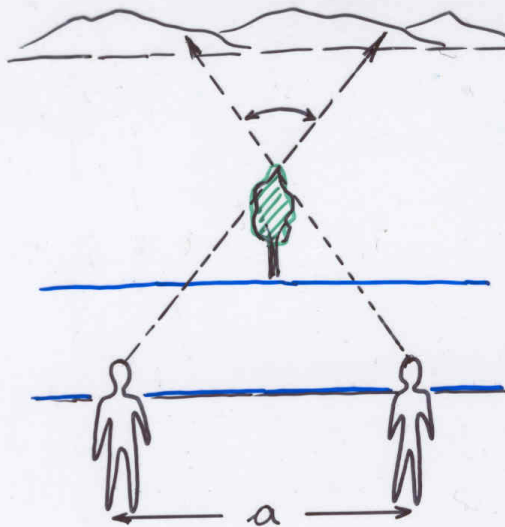
M31

M101  
Virgo jato  
Coma jato

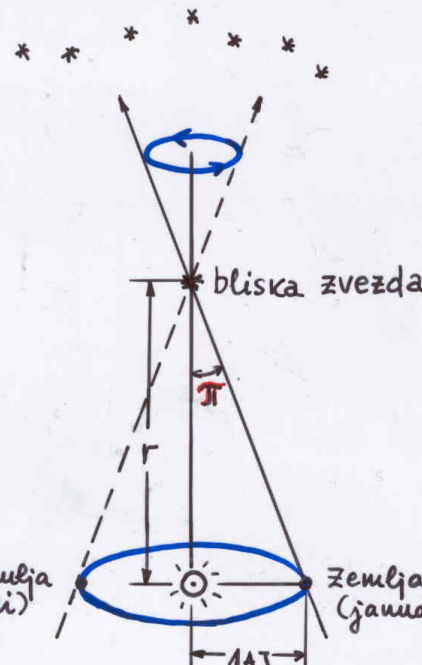


# Metod trigonometrijske paralakse

## METOD TRIGONOMETRIJSKE PARALAKSE



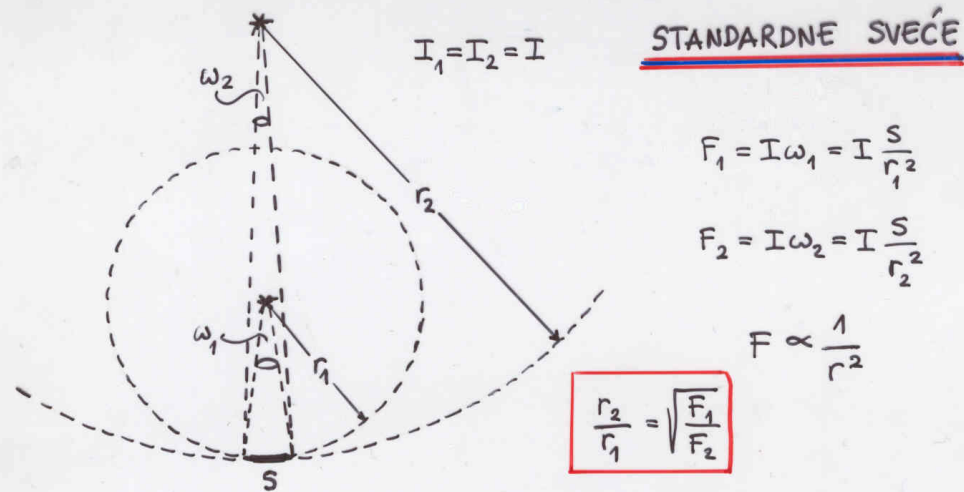
PARALAKSA = PRIVIDNO  
POMERANJE POSMATRANOG  
OBJEKTA USLED  
PROMENE U POLOŽAJU  
POSMATRAČA



GODIŠNJA PARALAKSA  
ŽVEŽDE (π)

$$r [\text{pc}] = \frac{1}{\pi [\text{"}]}$$

$$1 \text{ pc} = 3.26 \text{ sv. god.}$$



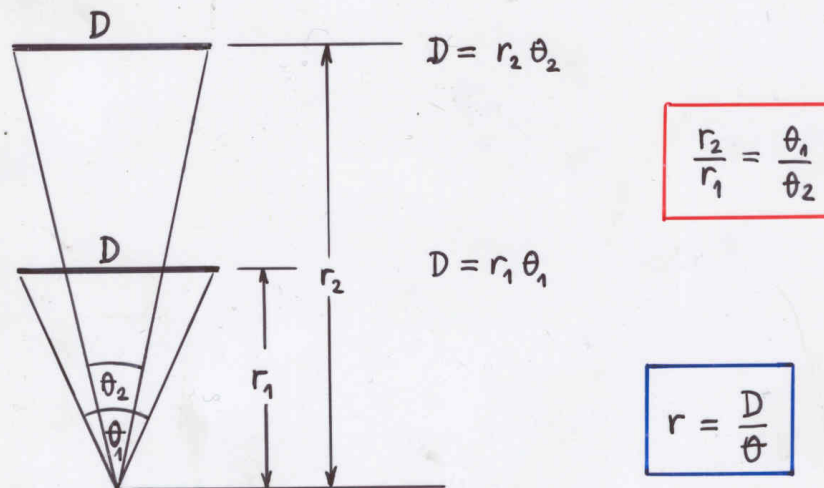
Pogsonov zakon :  $m_1 - m_2 = 2.5 \log \frac{F_2}{F_1} = 5 \log \frac{r_1}{r_2}$

$$r_1 = 10 \text{ pc}, \quad m_1 = M$$

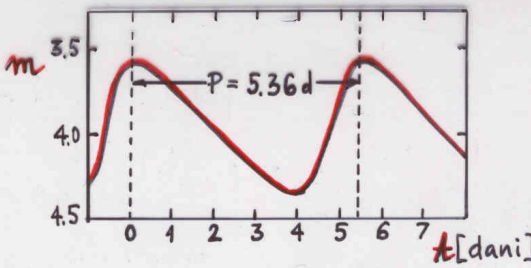
$$r_2 = r, \quad m_2 = m$$

$$M = m + 5 - 5 \log r$$

STANDARDNI LENJIRI

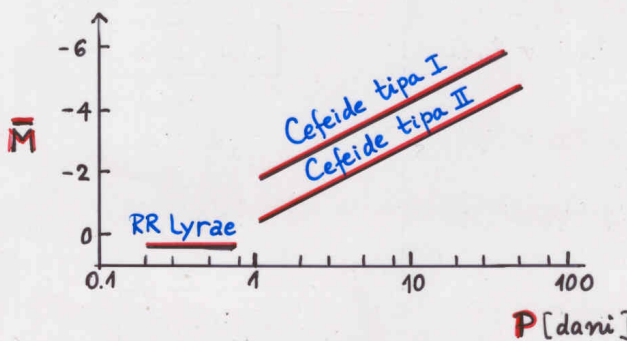


## METOD CEFEIDA



Kriva sjaja zvezde  $\delta$  Cephei

H. Leavitt (1912) :  $m - \log P \rightarrow M - \log P$  ( $M = \underline{a} + b \cdot \log P$ )



Relacija 'period - sjaj'

za RR Lyrae :  $M \approx +0.5$

za Cefeide tipa I :  $M = -1.5 - 1.74 \log P$

za Cefeide tipa II :  $M = -0.2 - 1.5 \log P$



$$M = m + 5 - 5 \log D$$



D

Standardne svetle ( $M = m^{\text{cor}} + 5 - 5 \log D$ )

- 1) Cefeide (do 5 Mpc, iuzetuo HST-om do 15 Mpc)
- 2) sjajui crveni superdžinovi  $M_V = -8^m$  (do 15 Mpc)
- 3) sjajui plavi superdžinovi  $M_V = -9^m$  (do 25 Mpc)
- 4) najsjajnija globularna gata  $M_V = -10^m$  (do 40 Mpc)
- 5) najsjajniji HII regioni  $M_V = -12^m$  (do 50 Mpc)
- 6) SN tipa Ia  $M_V = -18.6^m$  (do 250 Mpc)
- 7) najsjajnije spiralne gal.  $M_V = -21^m$
- 8) relacija Tully-Fischer  $L \propto v_{\text{rot}}^4$
- 9) relacija Faber-Jackson  $L \propto v_{\text{dis}}^4$

Standardni leujiri ( $2R = \frac{D \cdot \theta''}{206265}$ )

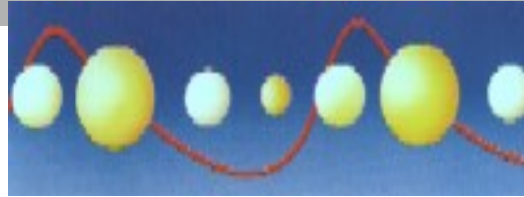
- 1) HII regioni
- 2) galaksije određenog (morphološkog) tipa

Druge metode

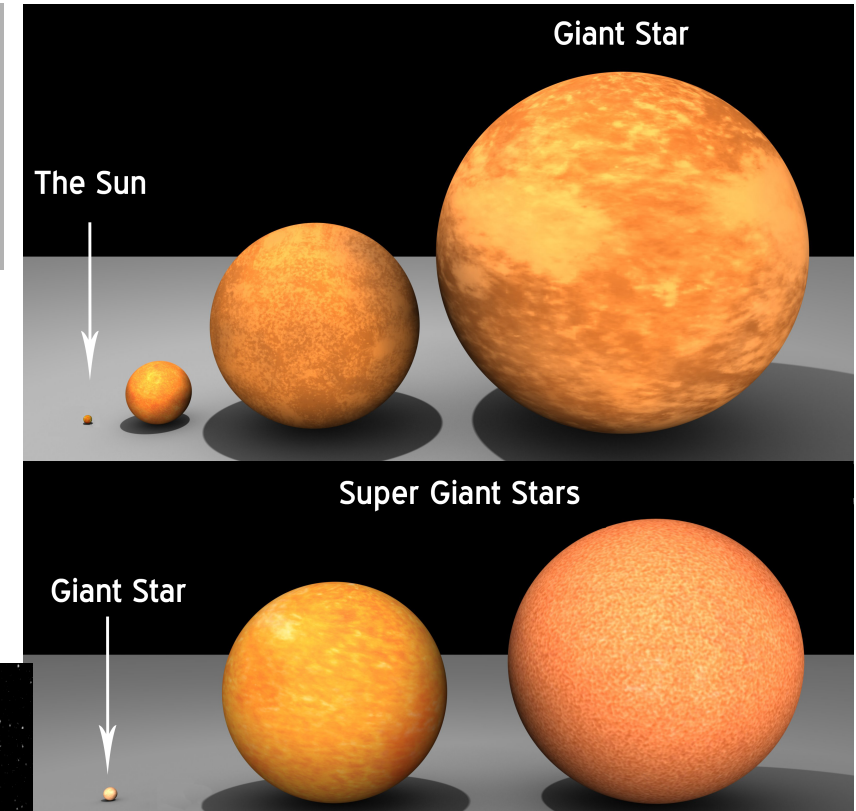
- 1) Sunyaev-Zel'dovich (S-Z) efekat
- 2) Efekat gravitacionog sociva
- 3) Habilov zakon

# Standardne sveće

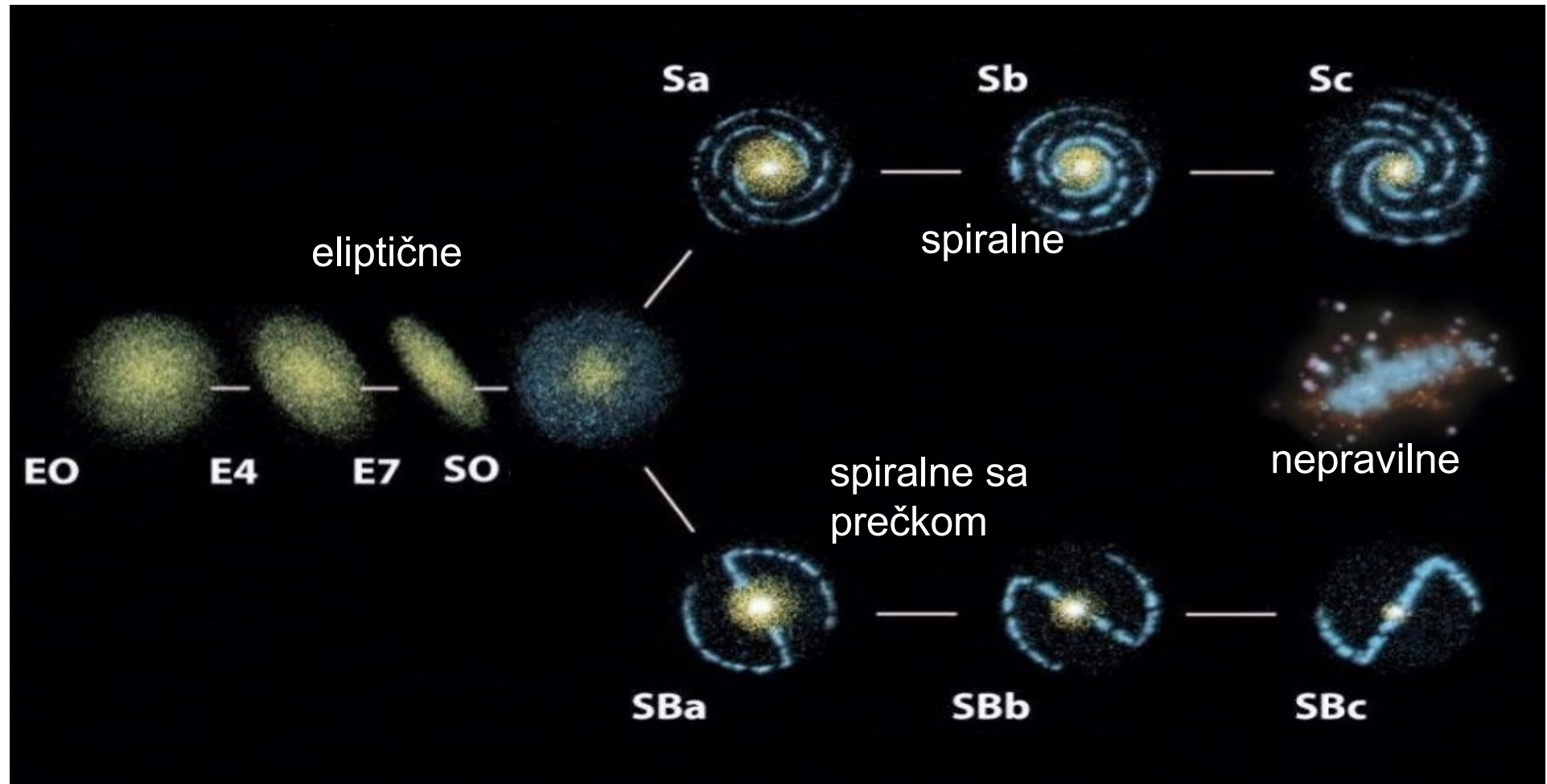
1. Cefeide



2. Sjajni super džinovi
3. Globularna zvezdana jata
4. Vangalaktički H II regioni
5. SN Ia
6. Najsjajnije spiralne galaksije



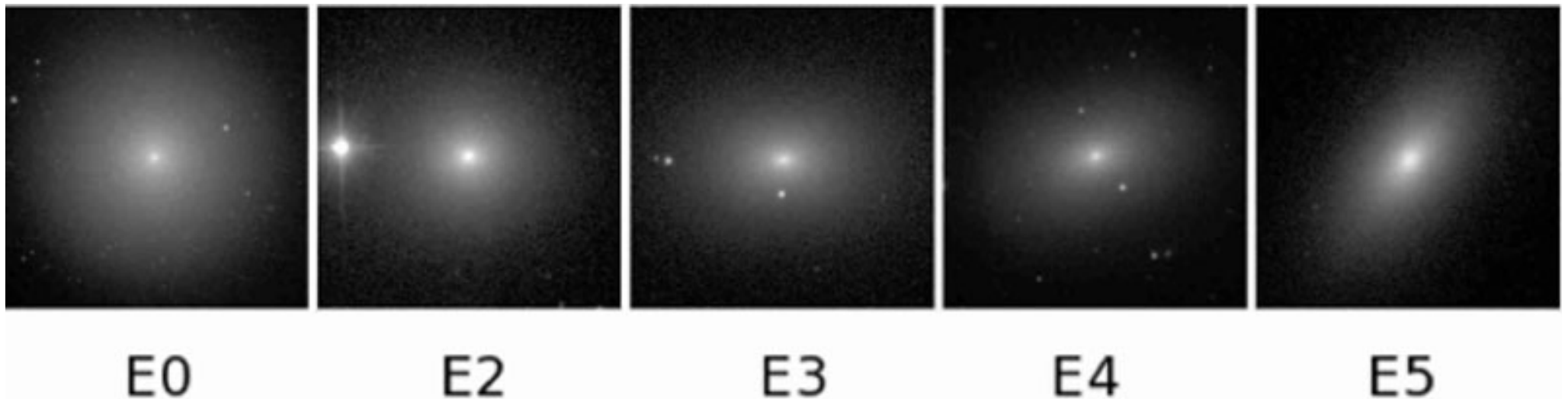
# Hablova morfološka klasifikacija galaksija



- **Eliptične galaksije (E)** – homogeni, spororotirajući zvezdani sistemi u obliku troosnog elipsoida,  
 $E_n$ ;  $n=10^*(1-b/a)$ ; nemaju disk, sadrže uglavnom objekte Populacije II; mase - između  $10^6$  (patuljaste) i  $10^{12}$  Sunčevih masa (džinovske)
- **Spiralne galaksije (S)** – imaju podsisteme (disk, jezgro i halo); sadrže i objekte Populacije I i II; mase od  $10^{10}$  do  $10^{11}$  mase Sunca
- **Diskolike galaksije (S0)** – imaju disk sa centralnim ispuštenjem, ali ne i spiralne grane
- **Nepravilne galaksije (I)** – sadrže najviše međuzvezdane materije i objekte Populacije I (najmanje mase i sjaja od svih galaksija)

# Eliptične galaksije (E)

- Homogene, sporo rotirarajuće, elipsoidne (E0-E7), nemaju disk, sadrže uglavnom objekte Populacije II, mase - između  $10^6 M_s$  (patuljaste) i  $10^{12} M_s$  (džinovske)
- Najbrojnije od svih tipova - male eliptične
- Najmasivnije od svih tipova – džinovske eliptične



Eliptična galaksija M87

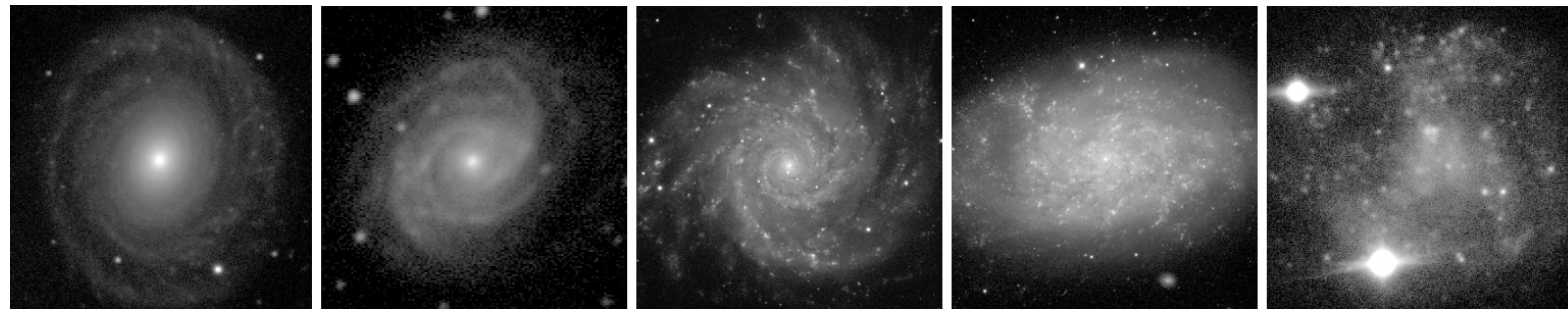


# Spiralne galaksije (S)

- imaju podsisteme (disk, zvezdani oval i halo), objekti Populacije I i II; mase  $10^{10}$ - $10^{11} M_S$
- Diskolike galaksije (S0)- imaju disk sa centralnim ispuštenjem, ali ne i spiralne grane
- Najsjajnije od svih tipova galaksija – spiralne



Spiralna galaksija M31 u  
Andromedi



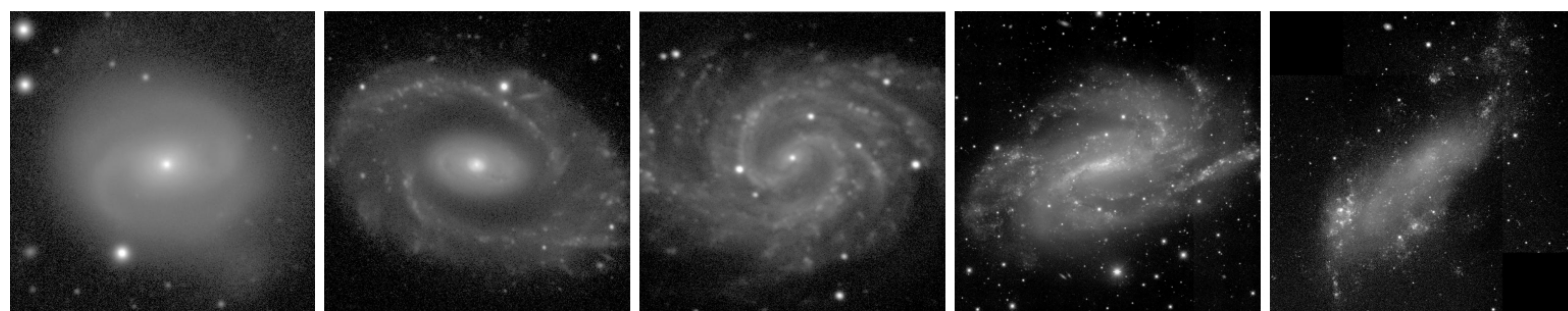
SAa

SAb

SAC

SAd

SAM



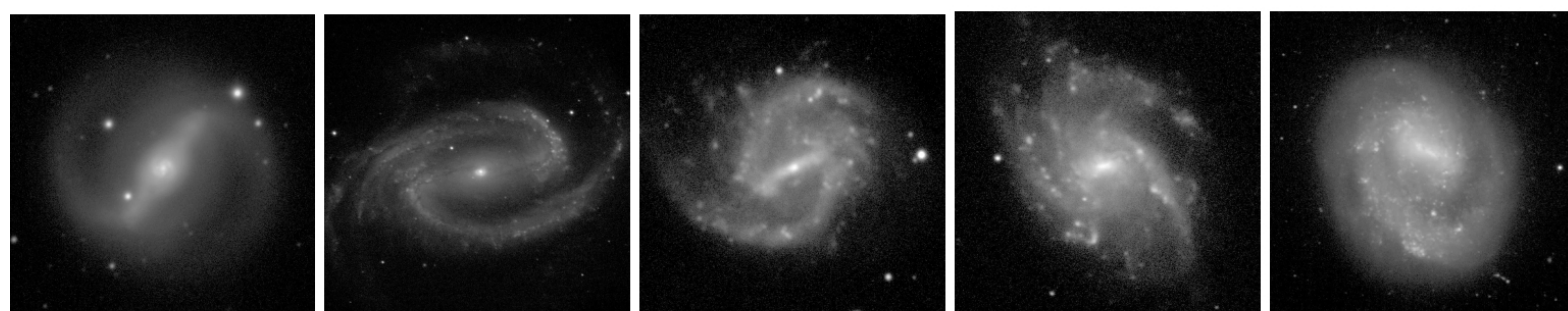
SABa

SABb

SABC

SABd

SABm



SBa

SBb

SBc

SBd

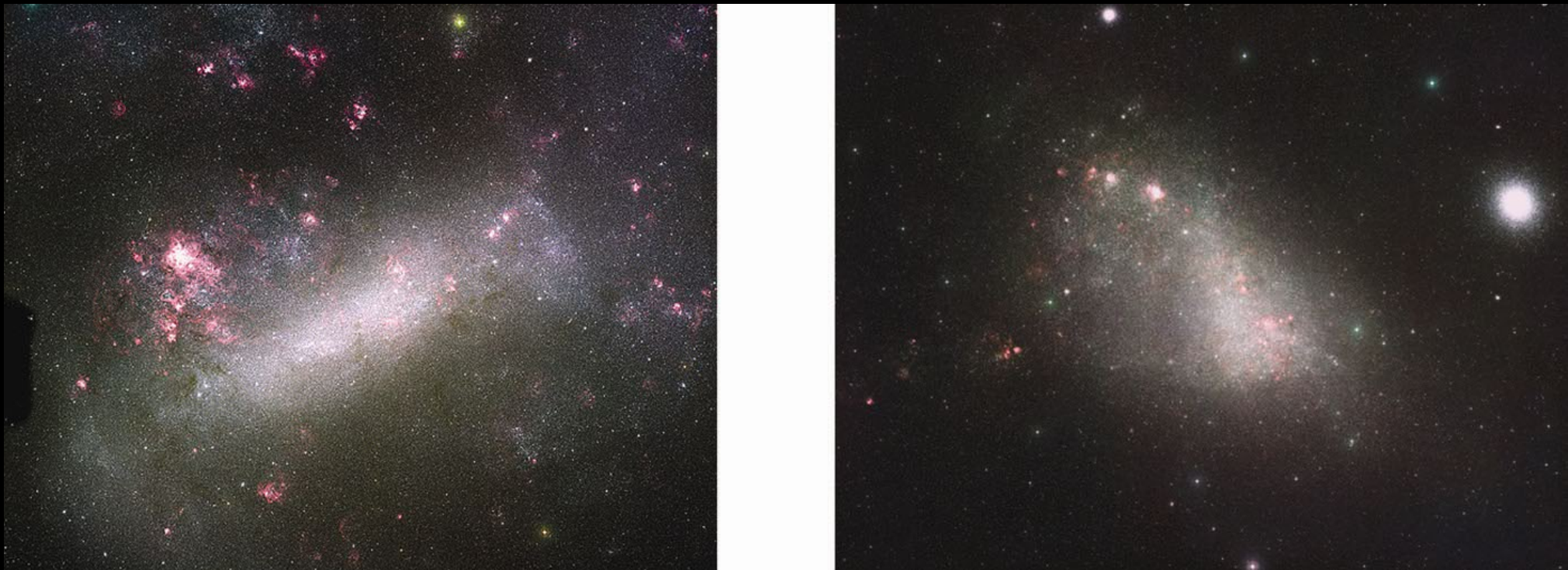
SBm

# Nepravilne galaksije (I)

- nemaju pravilan oblik i strukturu, sadrže najviše međuzvezdane materije i objekte Populacije I (najmanje mase i sjaja od svih galaksija)



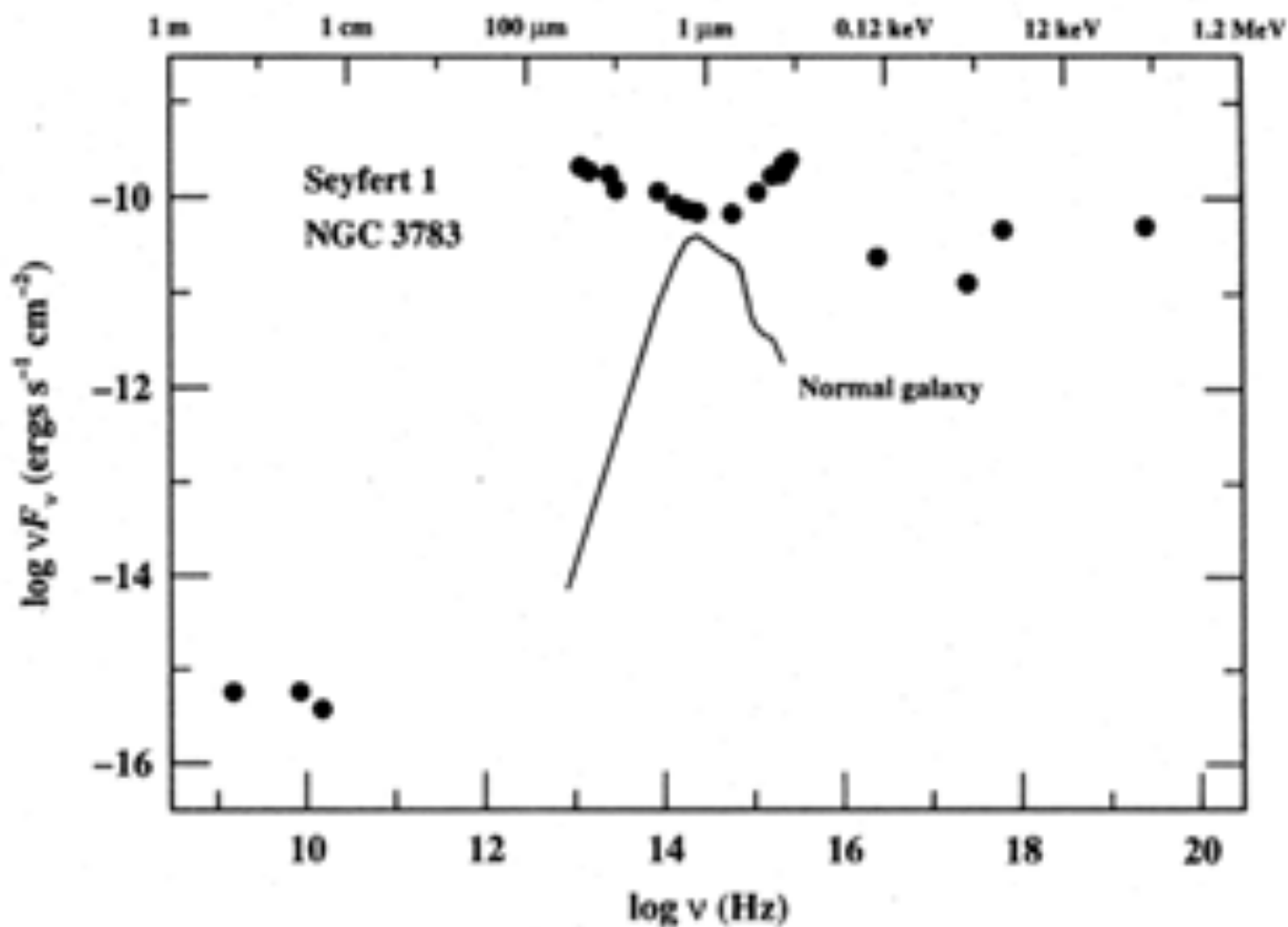
# Magelanovi oblaci – nepravilne galaksije



# Fizička klasifikacija galaksija

- Normalne galaksije
  - zračenje galaksije je određeno zračenjem zvezda
  - zračenje je termalno (oko milion puta manje u radio oblasti nego u optičkoj)
  - spektar : termalni kontinuum sa apsorpcionim linijama
  - fluks zračenja je konstantan u toku vremena
- Aktivne galaksije – galaksije sa aktivnim jezgrom (AGJ)
  - pojačano zračenje u X, IC i radio oblasti spektra
  - zračenje je netermalno
  - spektar : netermalni kontinuum sa emisionim linijama
  - fluks zračenja se menja u toku vremena

# Spektar AGJ i normalne galaksije



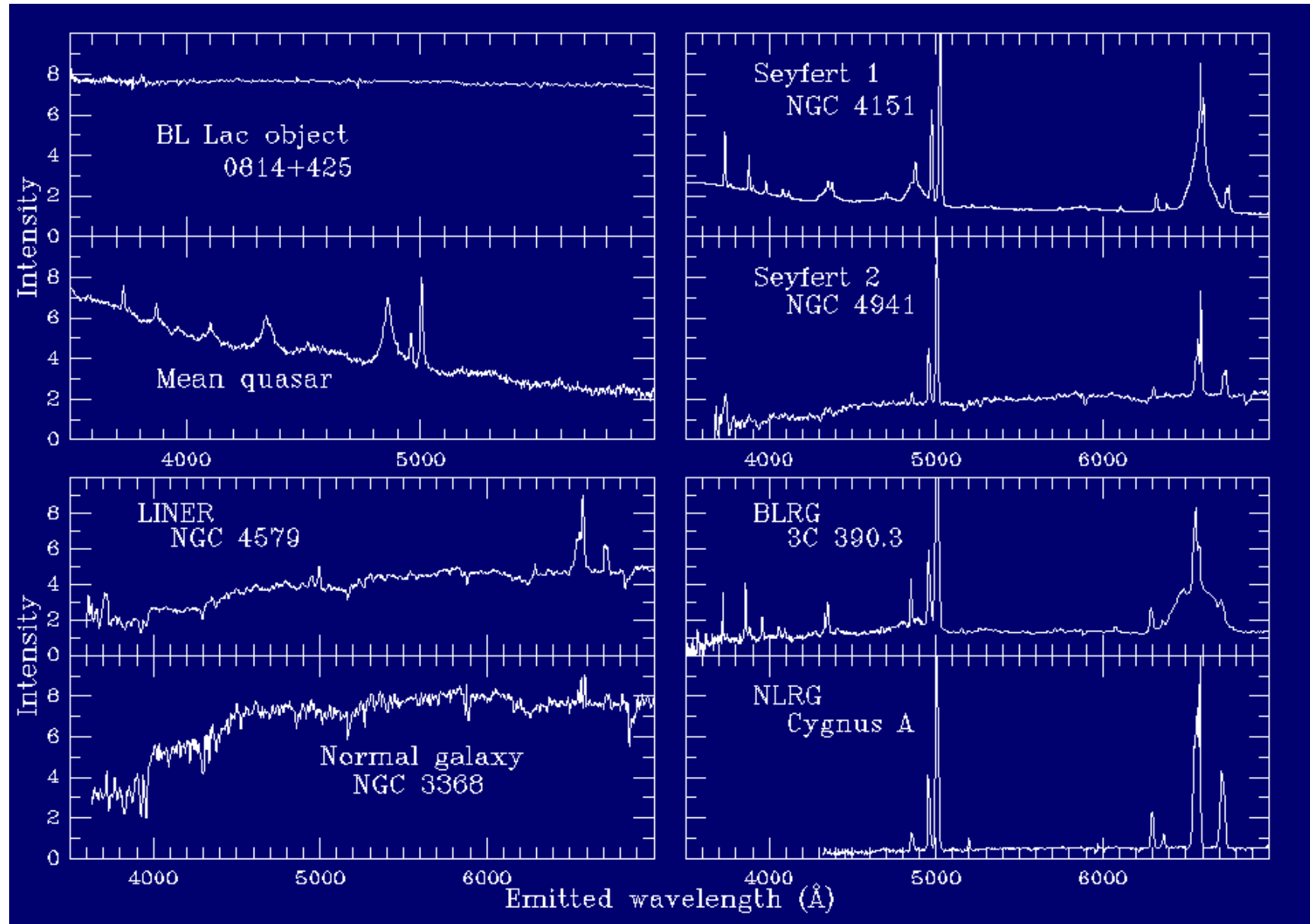
# Aktivne galaksije

- Najjači izvori zračenja u vasioni
- Do 10% svih poznatih galaksija
- Pojačano zračenje u svim delovima spektra
- Netermalno zračenje
- Široke i uske emisione linije
- Promenljivo zračenje u toku vremena

# Sejfertove galaksije – spiralne galaksije sa sjajnim jezgrom



# Poredjenje spektara normalne galaksije sa spektrima aktivnih galaksija i kvazara



# Radio galaksije – džinovske eliptične galaksije (najbliža - Centaurus A)



# Kvazari

## (Quasi Stellar Radio Source)

# Radio-galaksija: 3c 48

- 1960 god: Thomas Matthews & Allan Sandage
  - snimili plavičasti zvezdoliki objekat
  - neobične emisione linije: neidentifikovane!

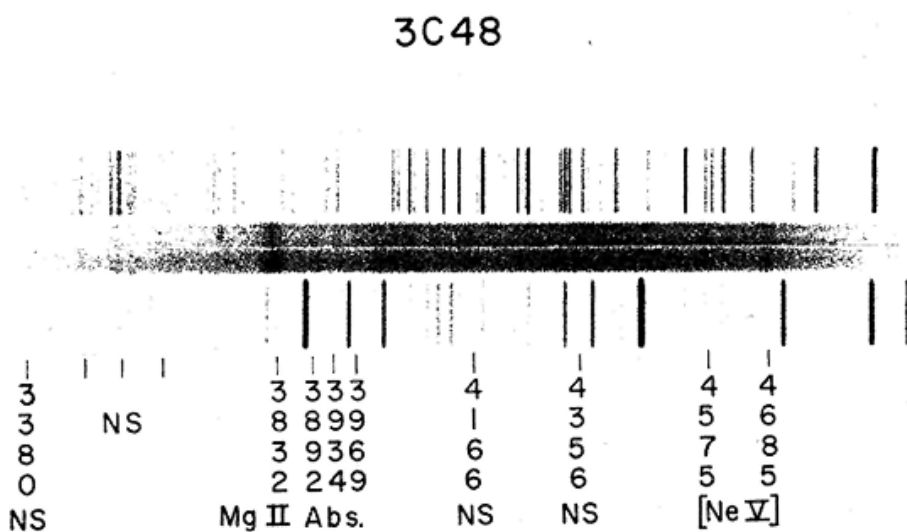


Fig. 3.—Two prime-focus spectra of the quasi-stellar object 3C 48, 190 Å/mm, IIa-O baked; upper November 12, lower December 20, 1960. The symbol *NS* indicates night-sky emission; *Abs.* is absorption. Upper comparison  $\Lambda + \text{Ne}$ , lower  $\text{H} + \text{He} + \text{A}$ . Redshifted lines of Mg II and [Ne VI] are indicated.

# Kvazi-stelarni radio izvori: 3c 273

- 1963: određen položaj optičkog izvora koji odgovara radio-galaksiji 3c 273
- 1963: **Maartin Schmidt**, Mt. Palomar
  - pravi snimak 3c 273: zvezdoliki objekat
  - snima spektar: misteriozne linije odgovaraju dobro poznatim prelazima u atomu vodonika!

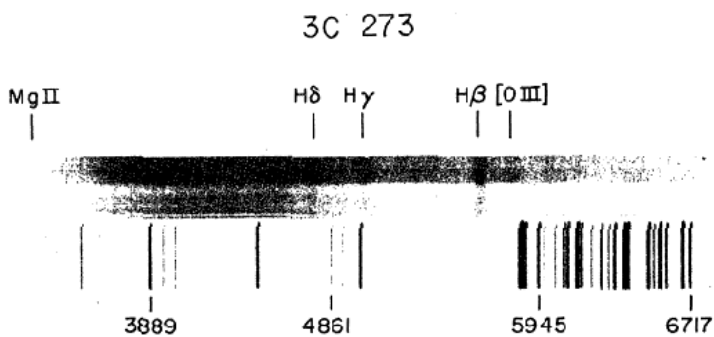
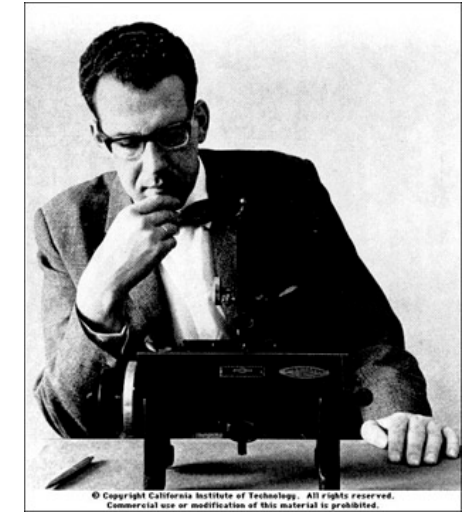
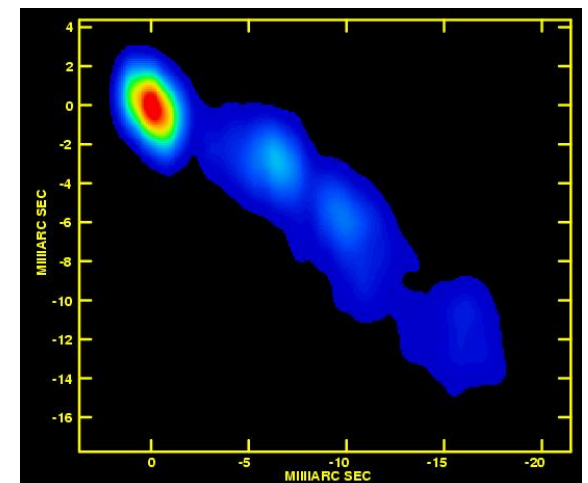
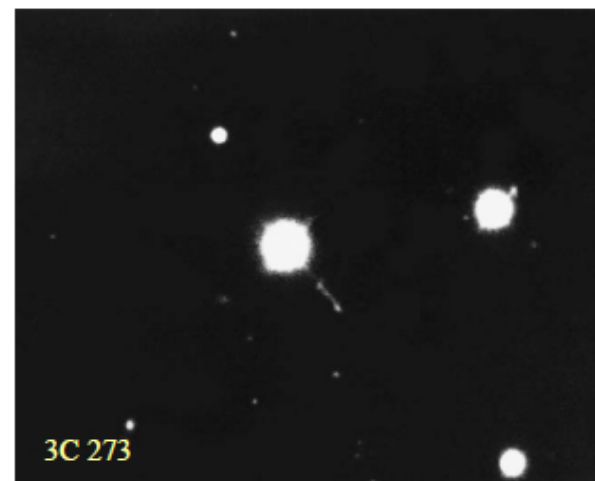


FIG. 2.—Spectrum of the quasi-stellar object 3C 273B, 400 Å/mm original, 103a-F, January 23, 1963. The comparison spectrum is H + He - Ne. Exposure over the upper half of slit was three times that over the lower half. Redshifted emission lines of H and [O III] are indicated; also the barely visible line of Mg II, confirmed on denser exposures.



# Jednostavna interpretacija spektra:

- crveni pomak vodonikovih linija:  $z=0.158$

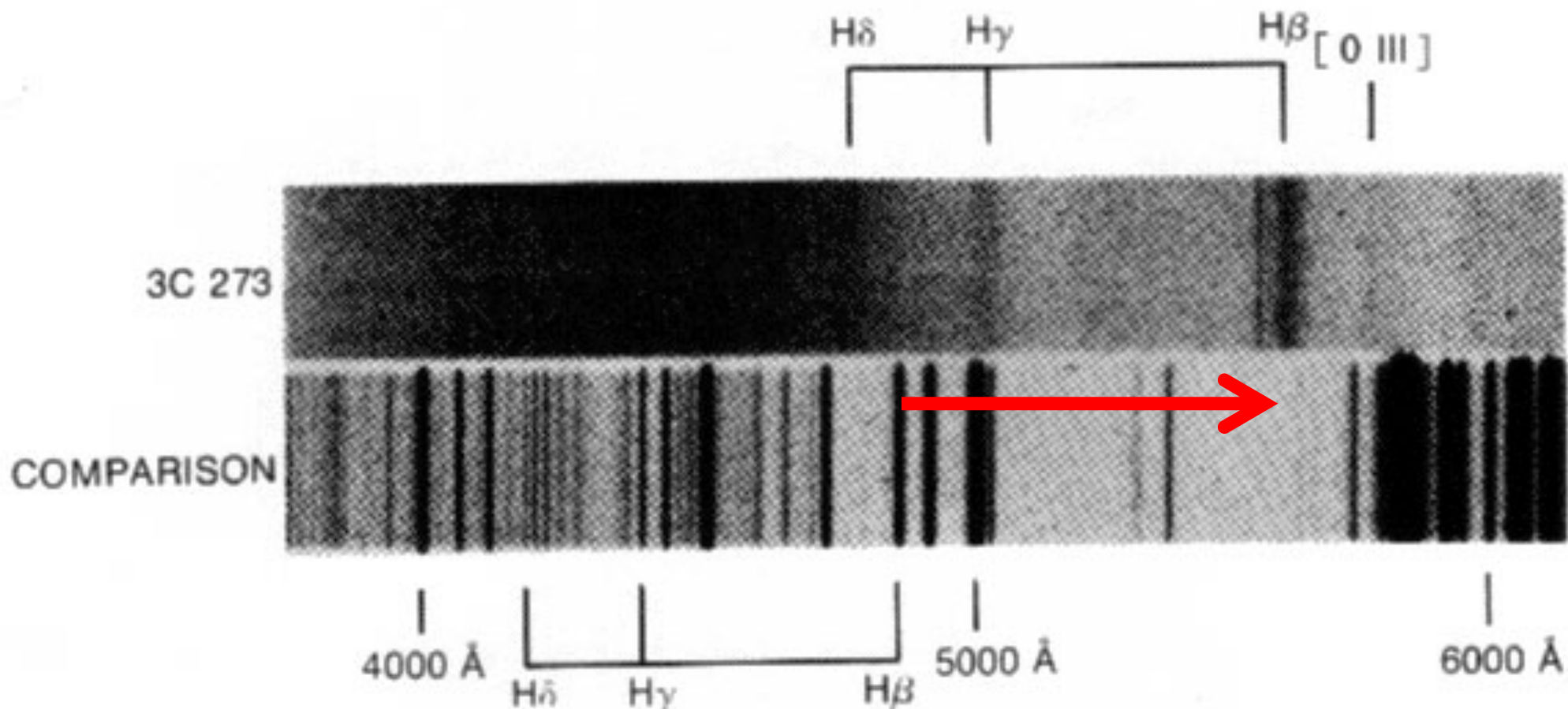
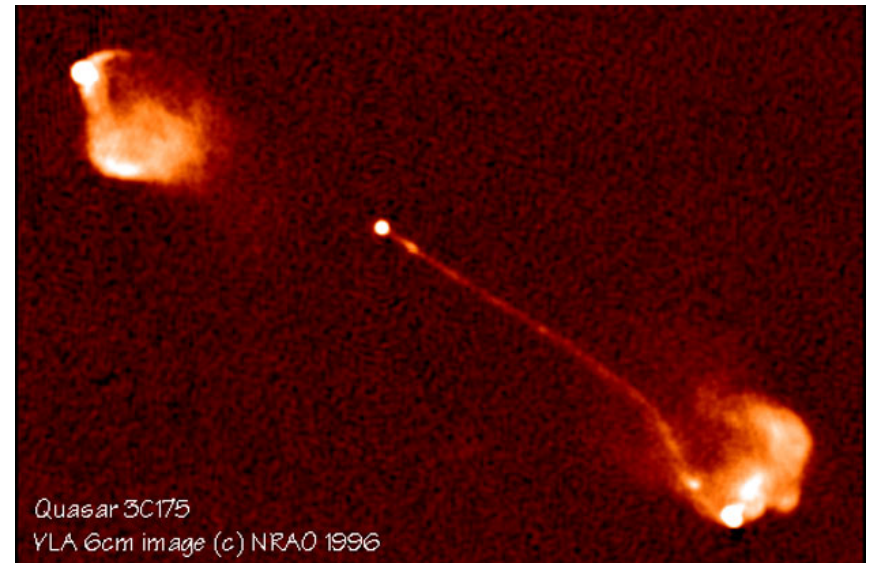


FIG. 2.—Spectrum of the quasi-stellar object 3C 273B, 400 Å/mm original, 103a-F, January 23, 1963. The comparison spectrum is H + He - Ne. Exposure over the upper half of slit was three times that over the lower half. Redshifted emission lines of H and [O III] are indicated; also the barely visible line of Mg II, confirmed on denser exposures.

# Gde je tu problem?

- Kako zvezdoliki objekti mogu da budu na tako velikom rastojanju i da ih mi vidimo?
  - Mora da su jako velikog sjaja?!? Koji je izvor te ogromne energije?!
- Schmidt daje dva objašnjenja za 3c 273:
  - zvezdani objekat čiji je crveni pomak posledica jakog gravitacionog polja
  - jezgro galaksije koje se kreće od nas brzinom od 170 miliona km/h!
- 3c 273: 2 milijarde svetlosnih godina udaljena, 100 puta sjajnija od ukupnog sjaja jedne velike galaksije

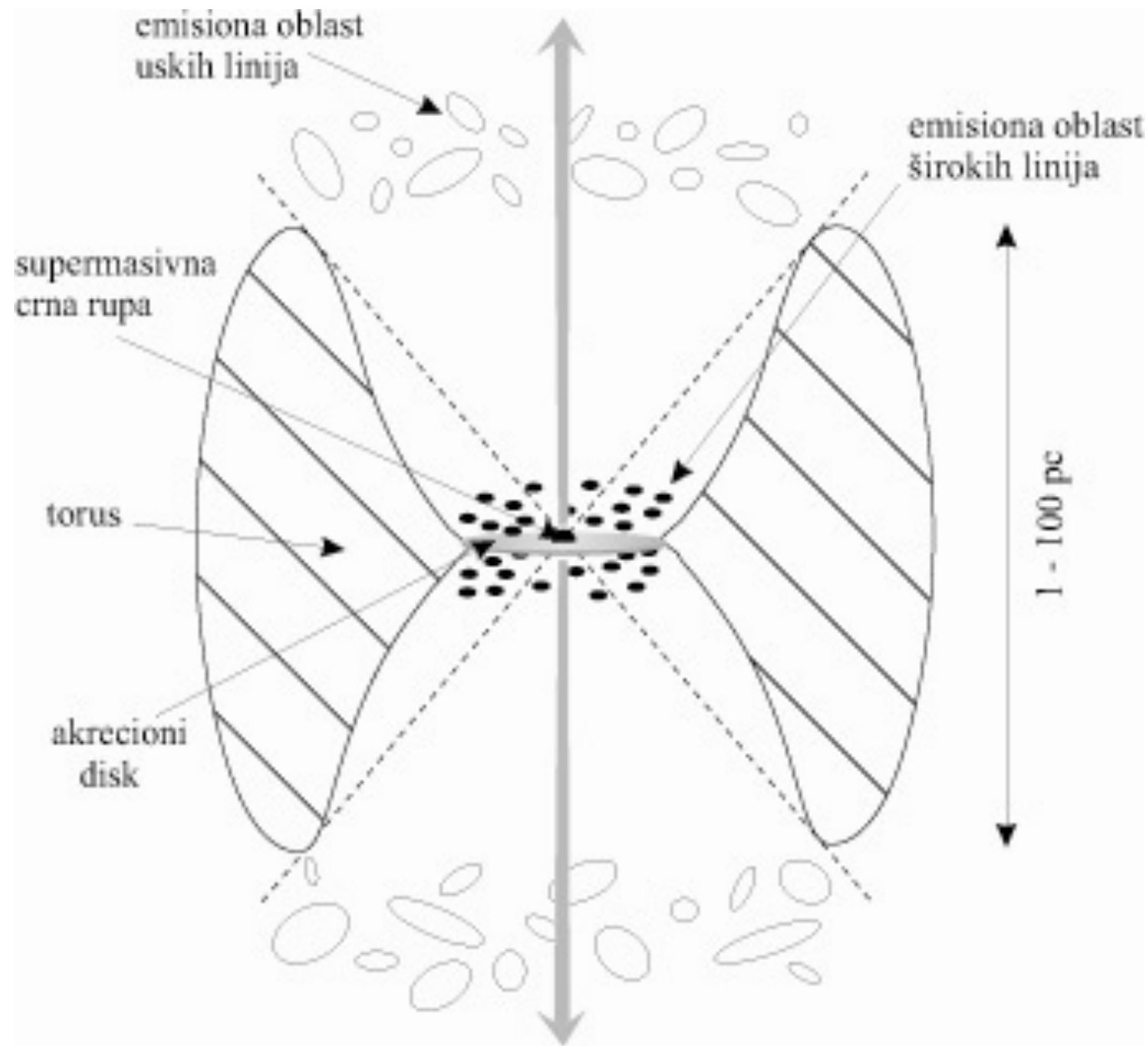


# Kvazari su jezgra aktivnih galaksija

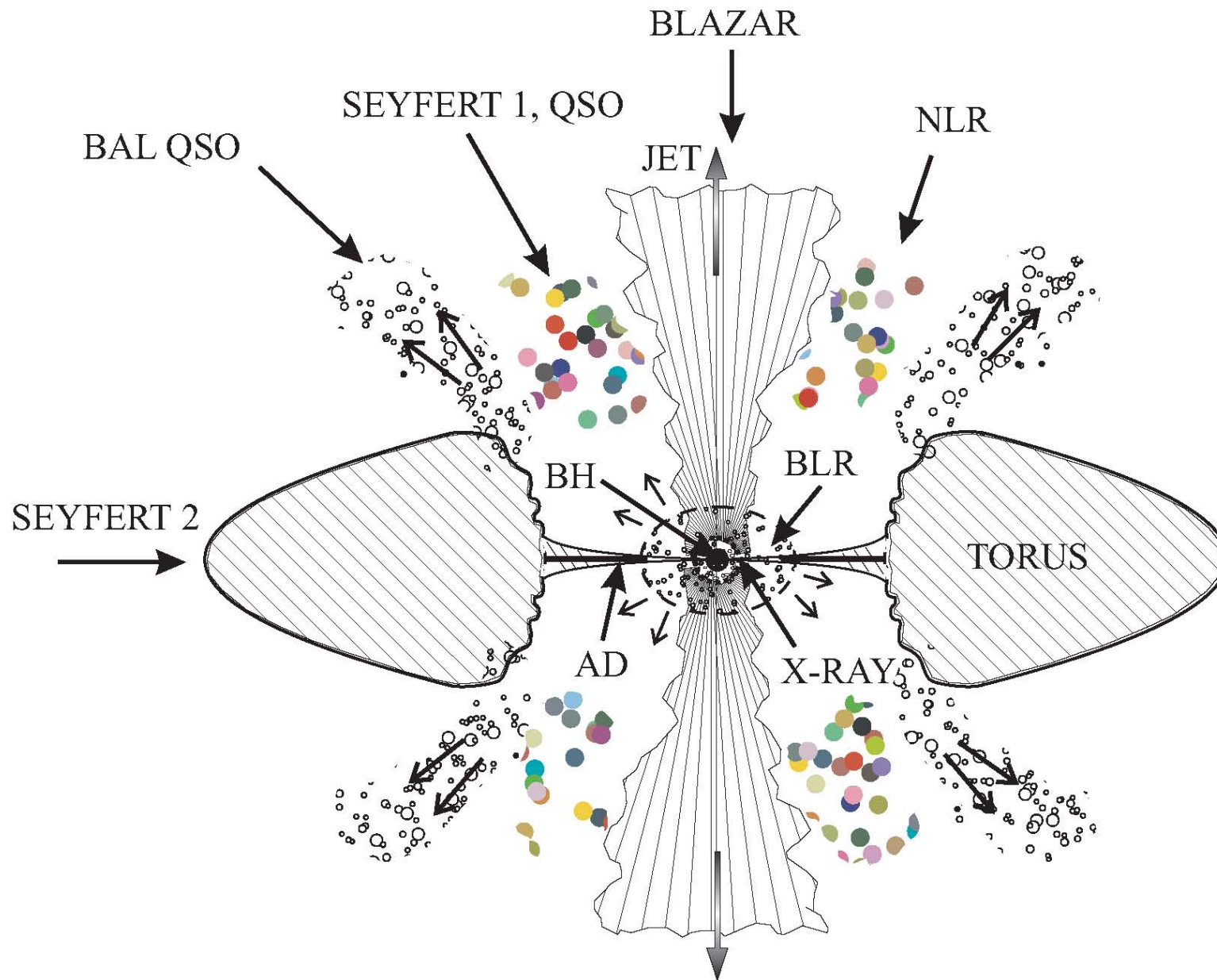
- nisu ni zvezdoliki objekti a uglavnom nisu ni jaki radio-izvori (termin QSO = *quasi stellar object*)
- mnogi su do sada otkriveni (zahvaljujući SDSS pregledu neba 120,000 kvazara je detektovano)
- **detekcijom kvazara posmatramo najudaljenije delove svemira**
- supermasivna crna rupa i akrecija materije proizvode ogromnu energiju



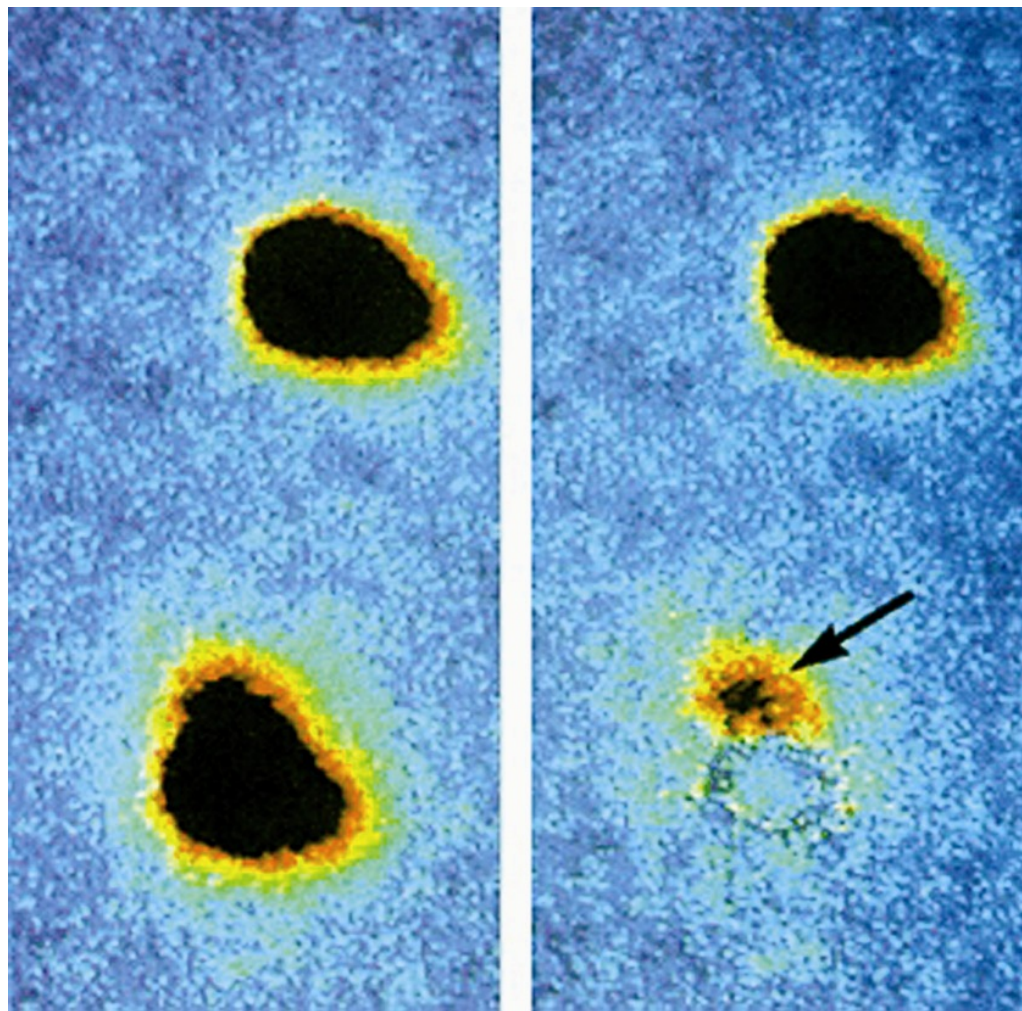
# Model jezgara aktivnih galaksija

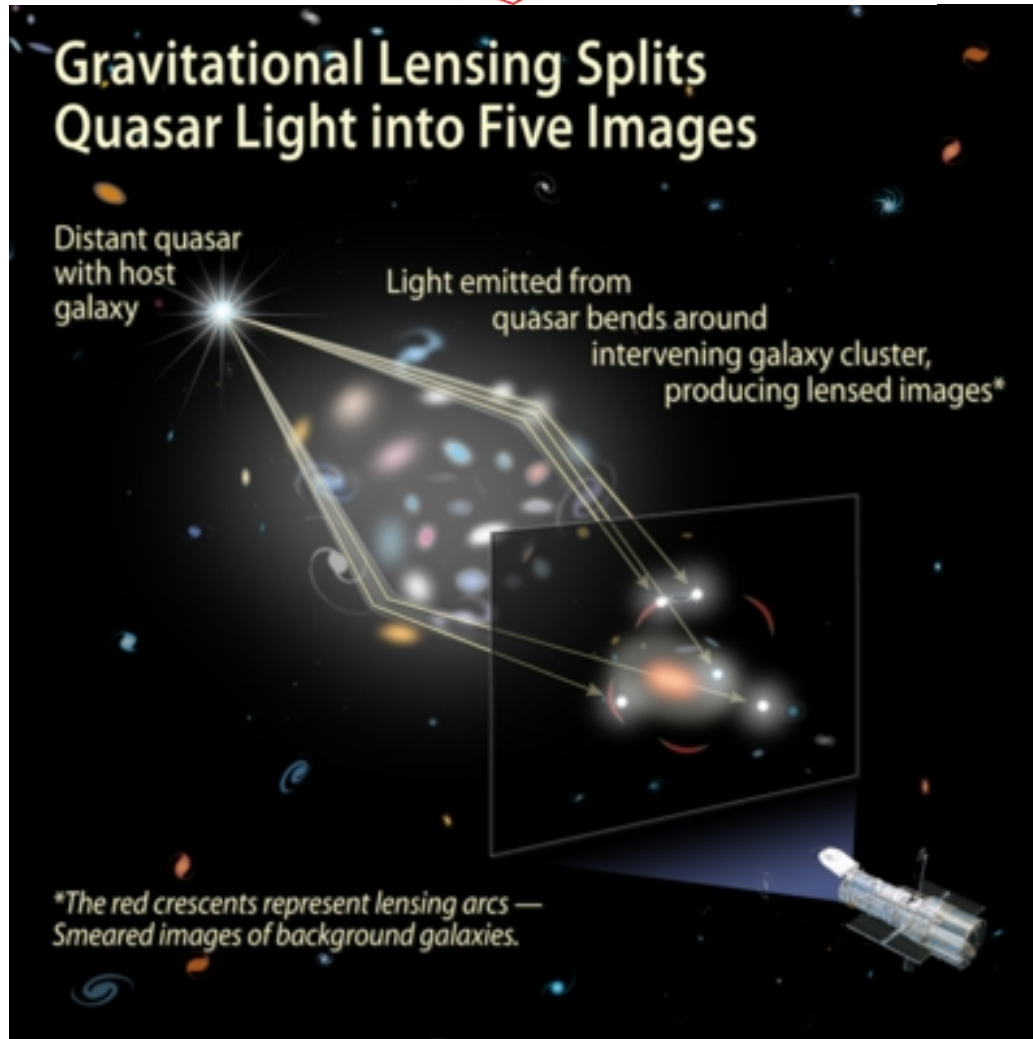
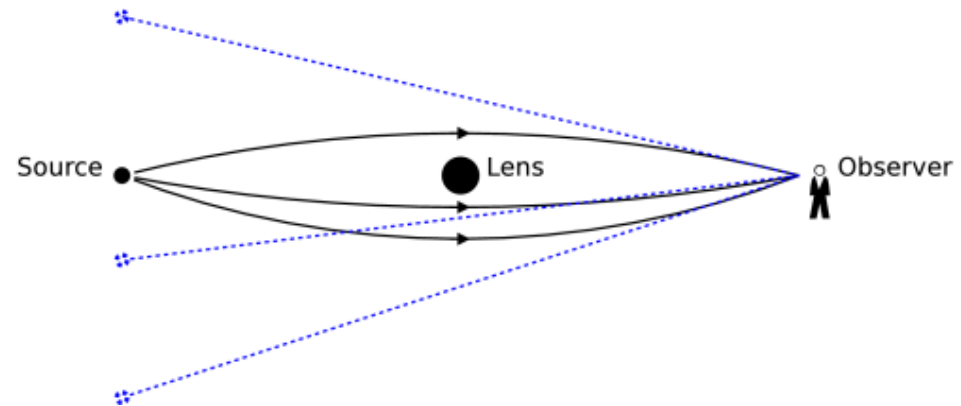
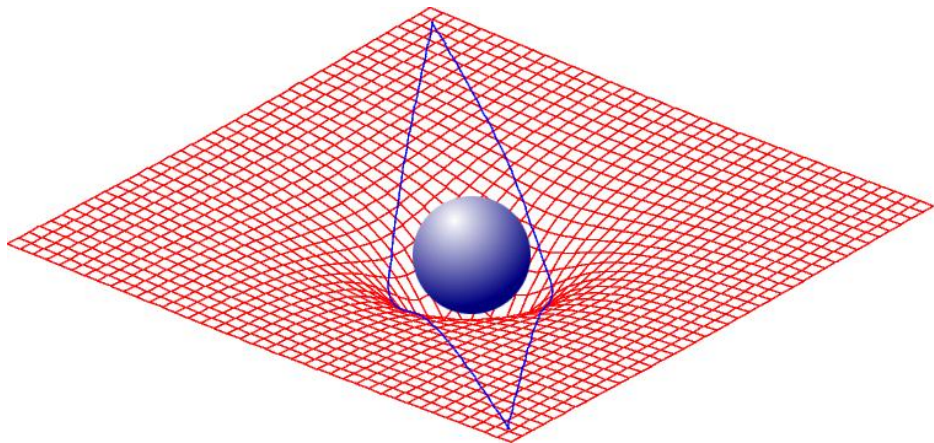


# Model jezgra aktivnih galaksija i kvazara



# Dvojni kvazar O957 + 561 (prvo otkriveno gravitaciono sočivo, 1979)





# Dvojni kvazar

(Merenjem vremenskog kašnjenja u promeni sjaja dva lika jednog kvazara određuje se vrednost Hablove konstante)